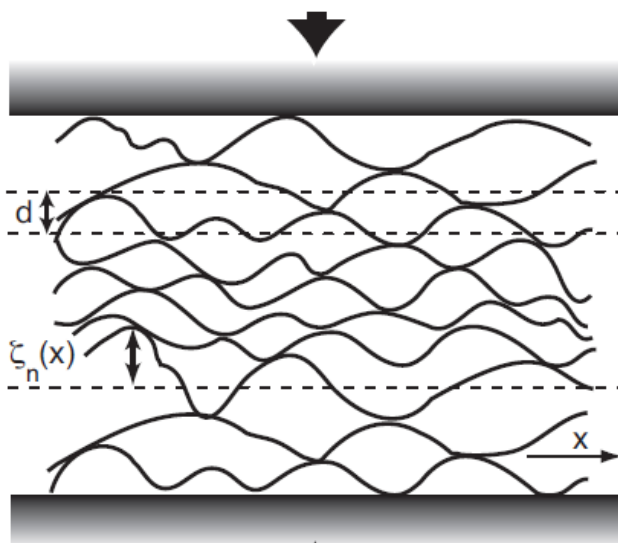
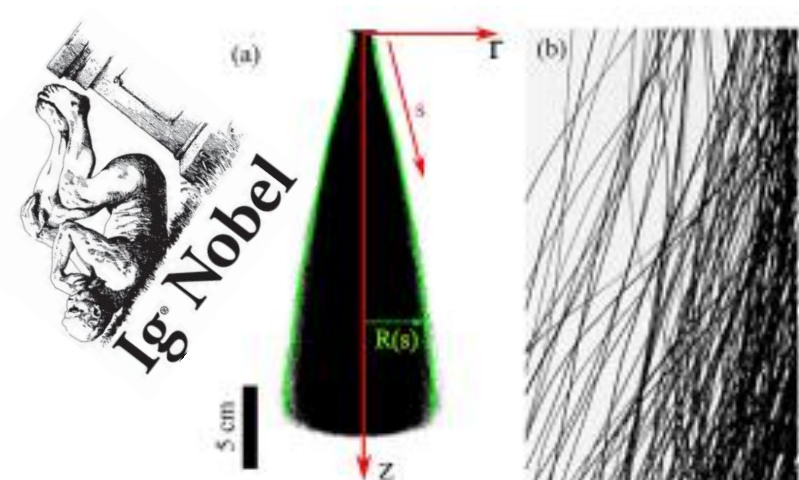


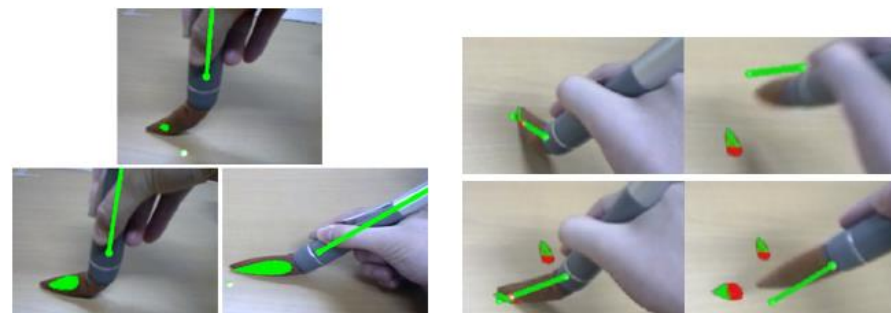
Sano, 2019



Beckrich,
2003



Goldstein, 2012



(a) Changing the shape.

(b) Rotating.

Otsuki, 2010

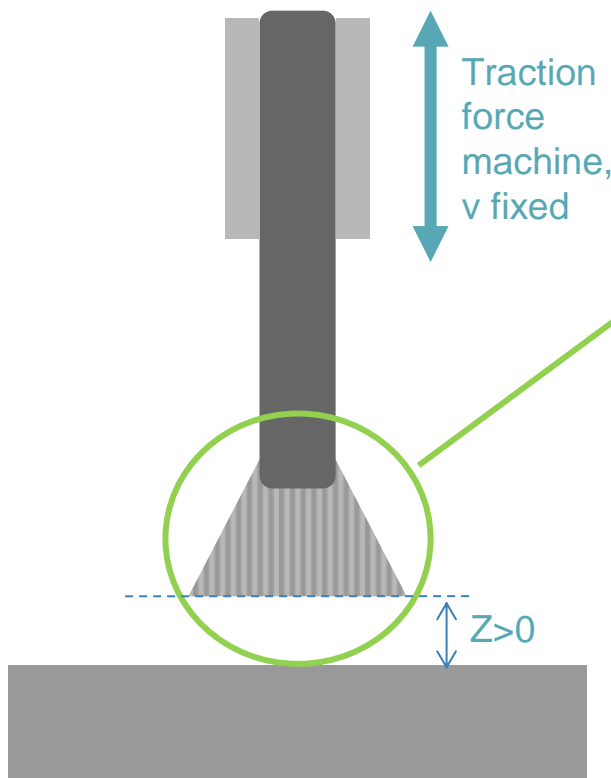


David, 2011

Compressing a fiber bundle against a rigid surface

Raphaelle Taub – 2nd year PhD Student
Supervisors : Frédéric Restagno, Christophe Poulard
LPS Orsay

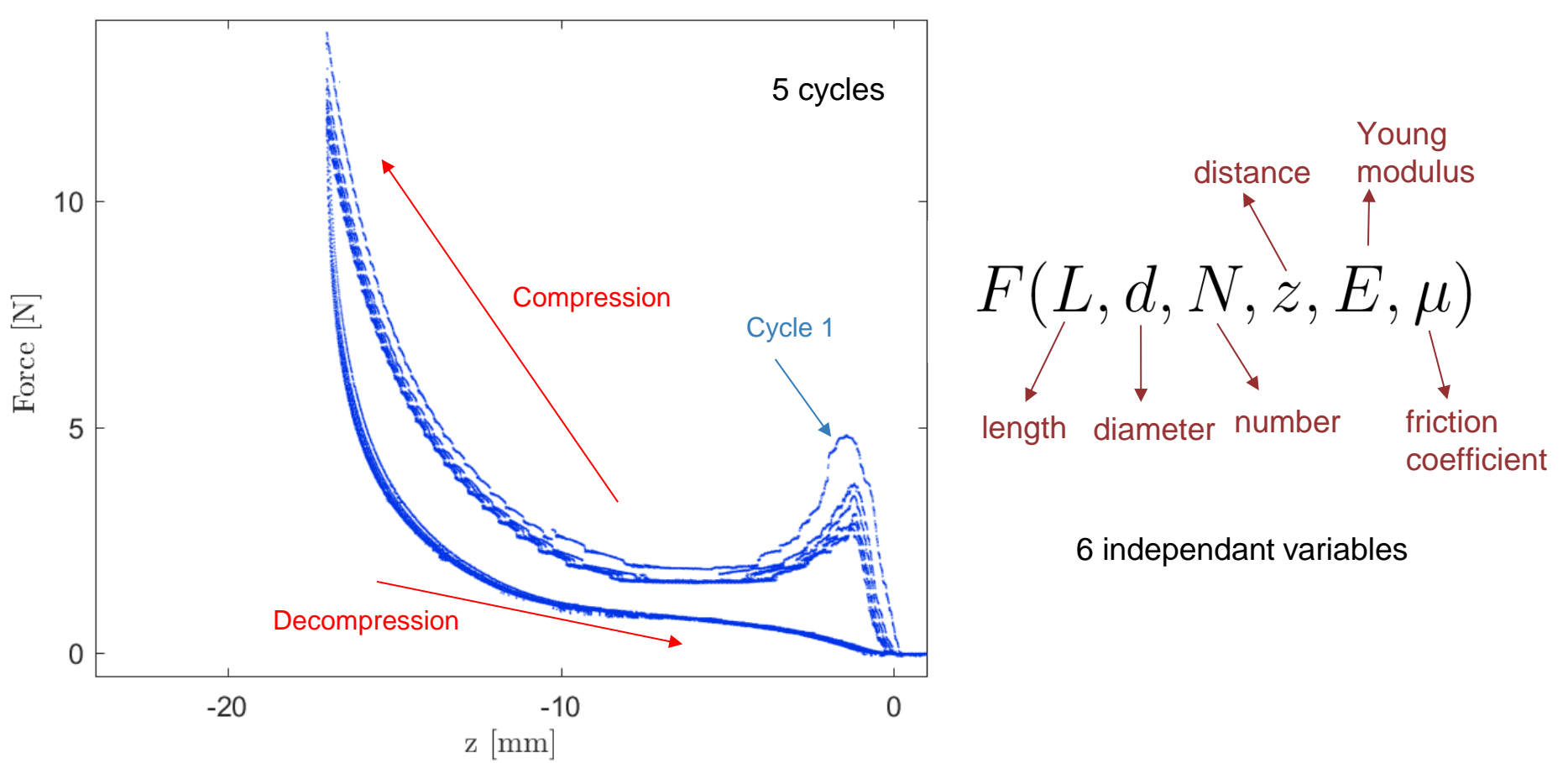
Setup



$v = 1 \text{ cm/mn}$
N hairs (around 27000)

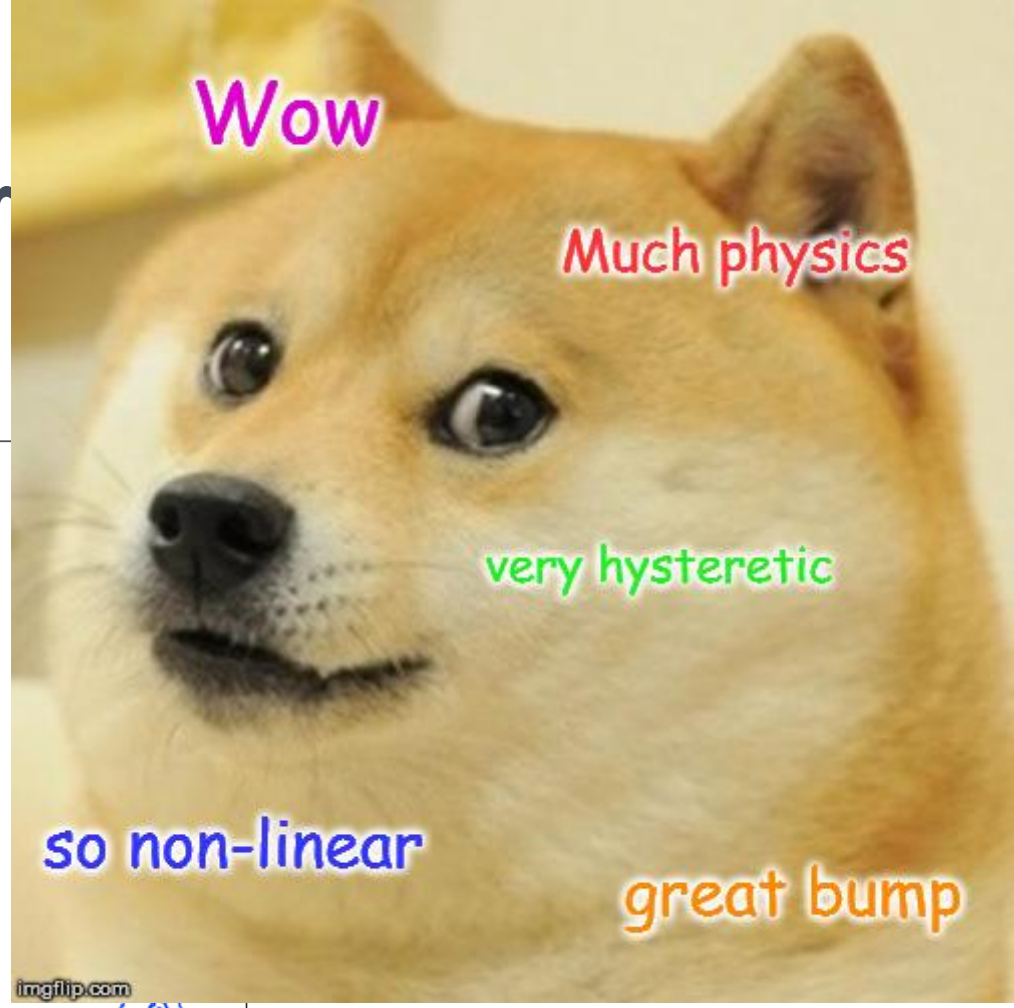
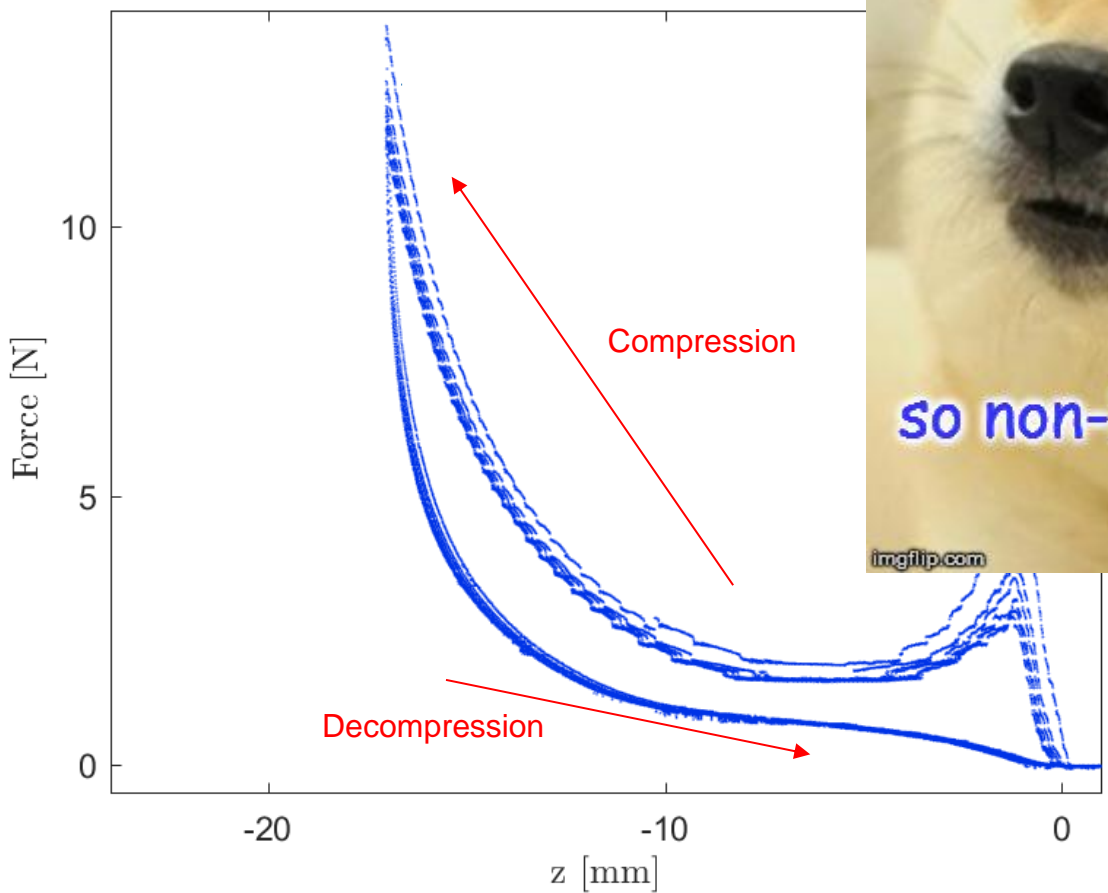
1 hair:
d (diameter) : 80-60 microns
L (length) : 3-5 centimeters
E (young modulus) : 3-5 GPa

Variation of the force in the height z



Variation of the force

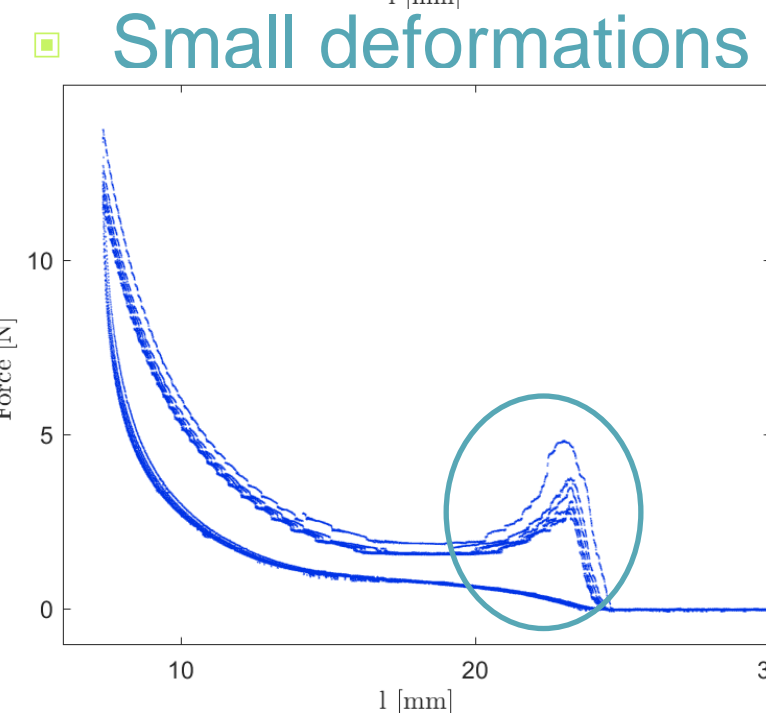
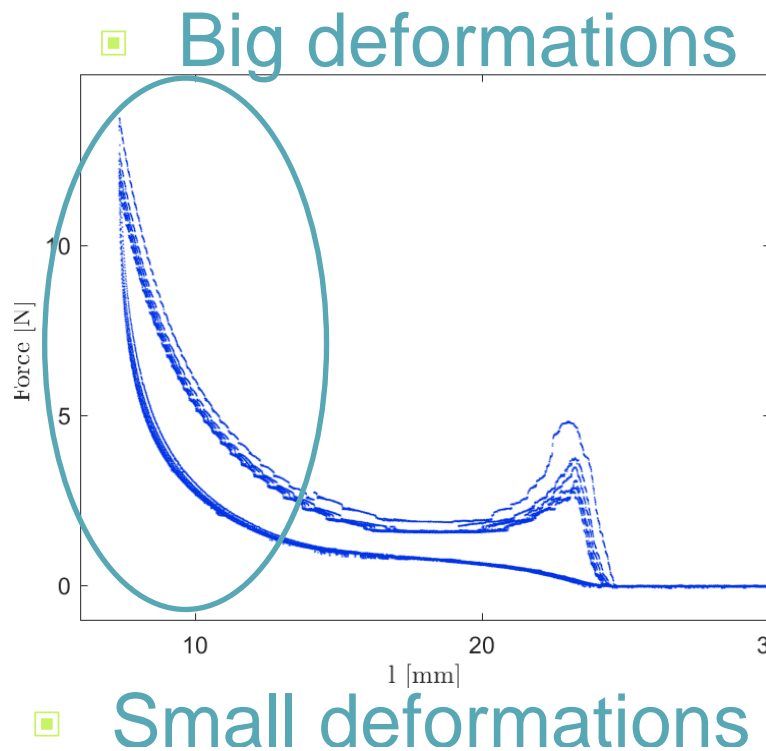
Forces measured by a strain gauge



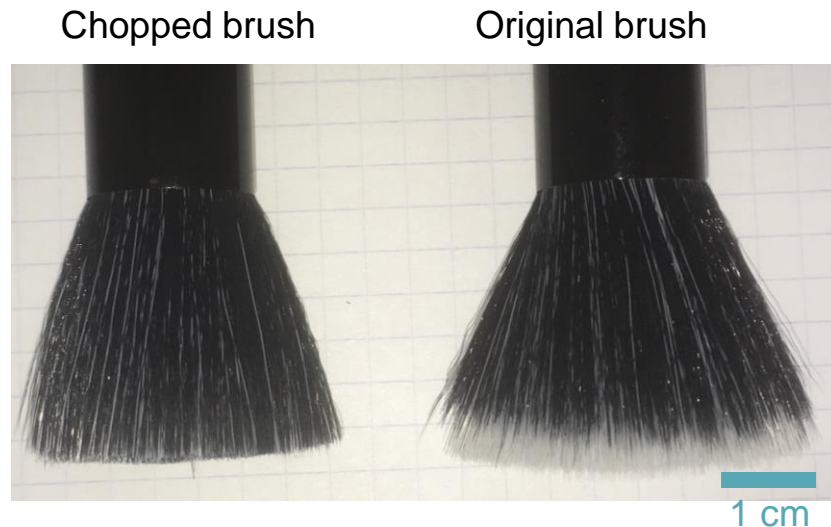
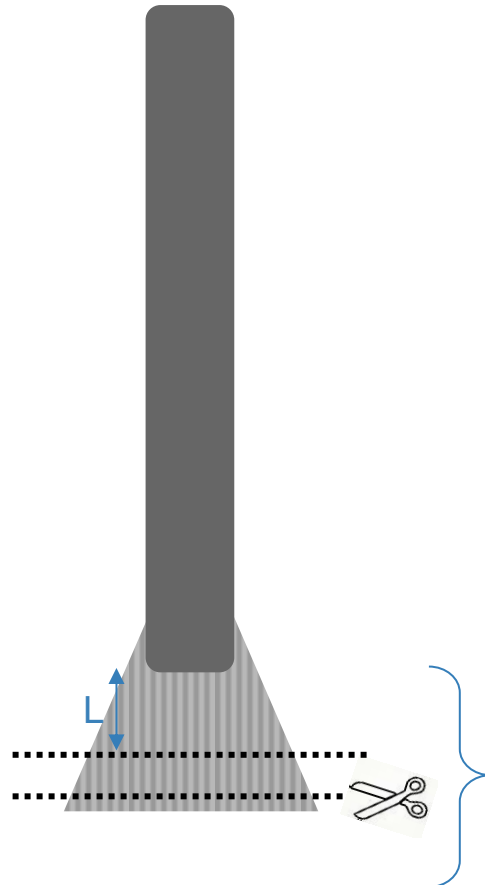


imgflip.com

JAKE-CLARK.TUMBLR



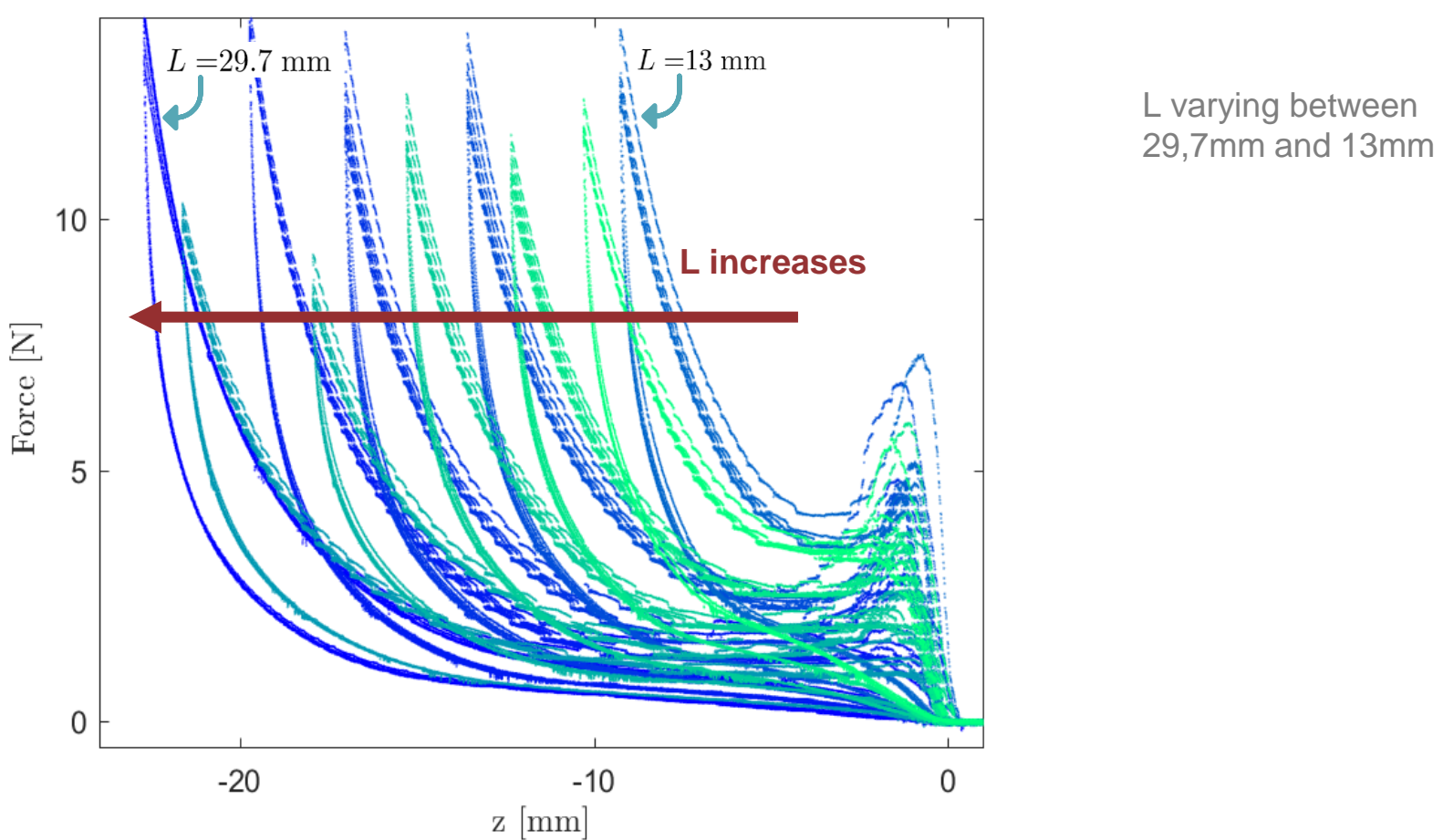
Compressing brushes and varying the fibers' length



11 cutting planes
2 brushes

L varying between
29,7mm and 13mm

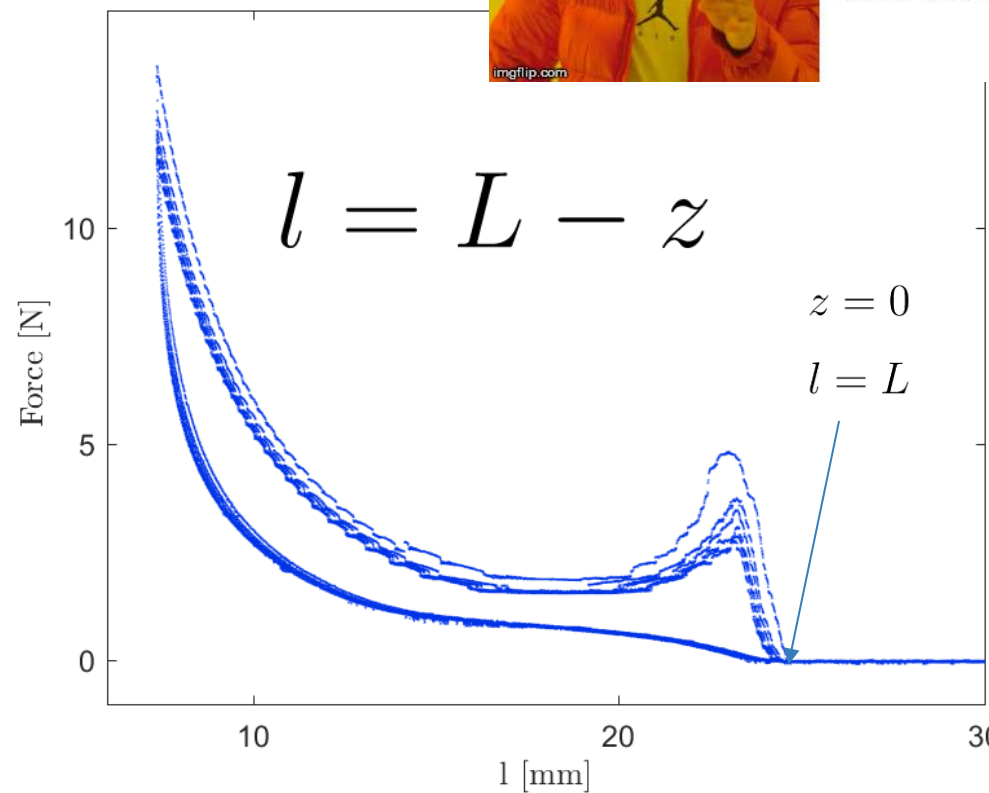
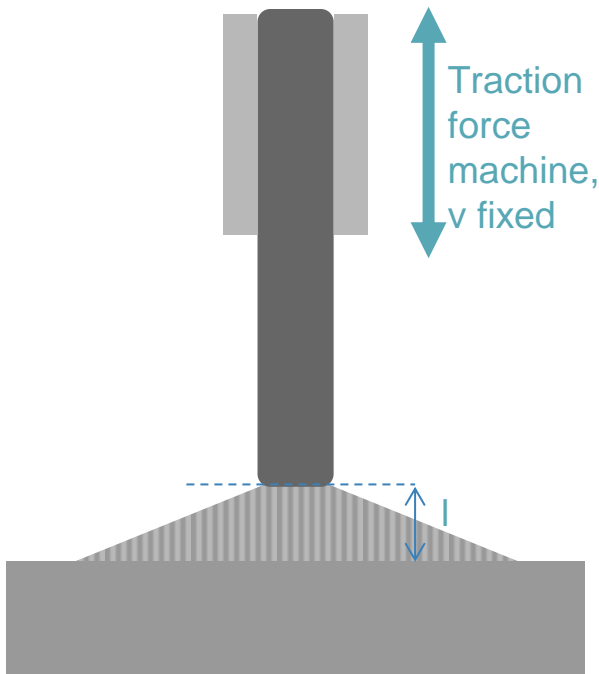
Compressing brushes and varying the fibers' length



New unit: crushing distance l

One notation for one coordinate

- F only depends on l



Two notations
for one
coordinate so no
one understands

Scaling law model for the force

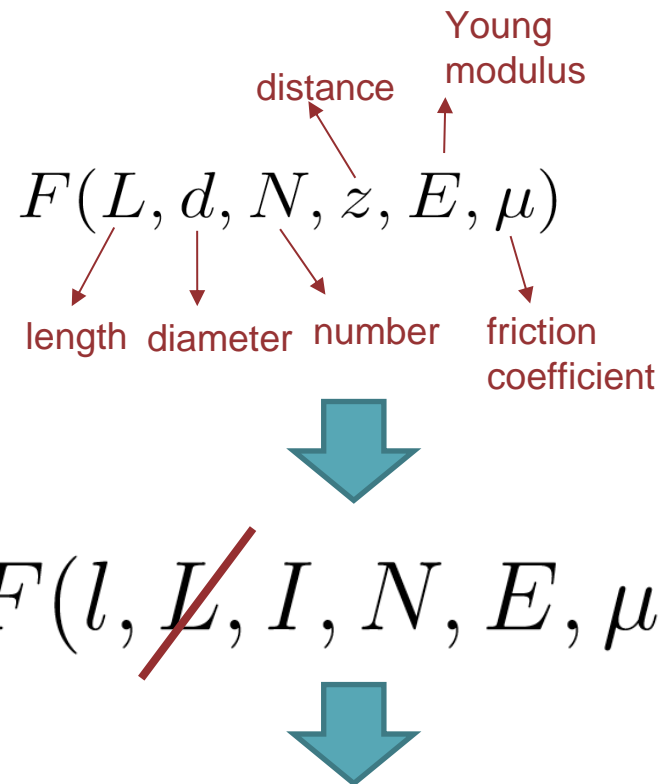
With : $E = 3 - 5 \text{ GPa}$

$$I = 2.9 \cdot 10^{-18} \text{ m}^4$$

$$I = \frac{\pi d^4}{64}$$

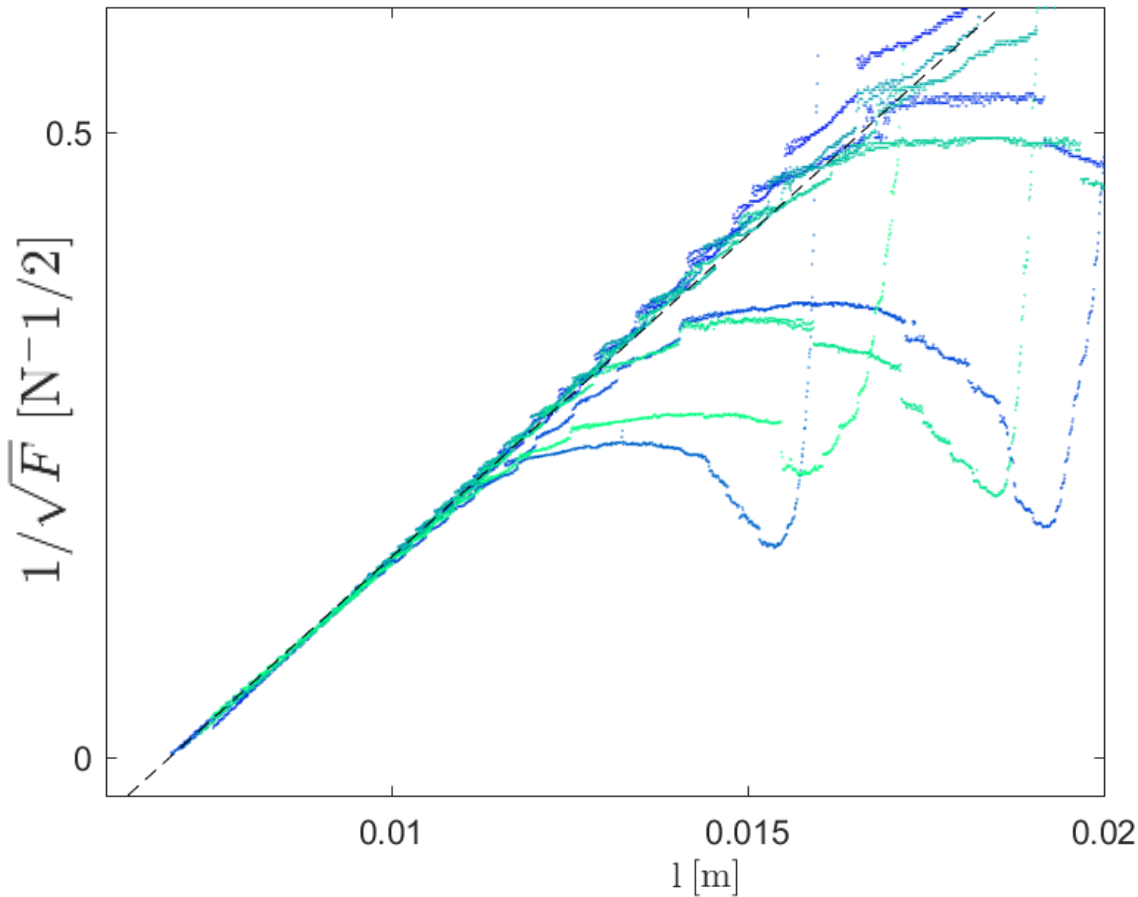
$$l = L - z$$

Scaling law for F



$$F \propto \frac{EI}{l^2}$$

Compressing brushes and varying the fibers' length



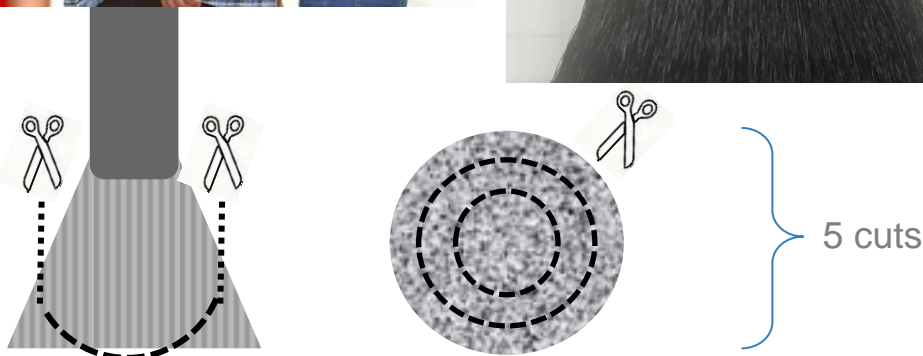
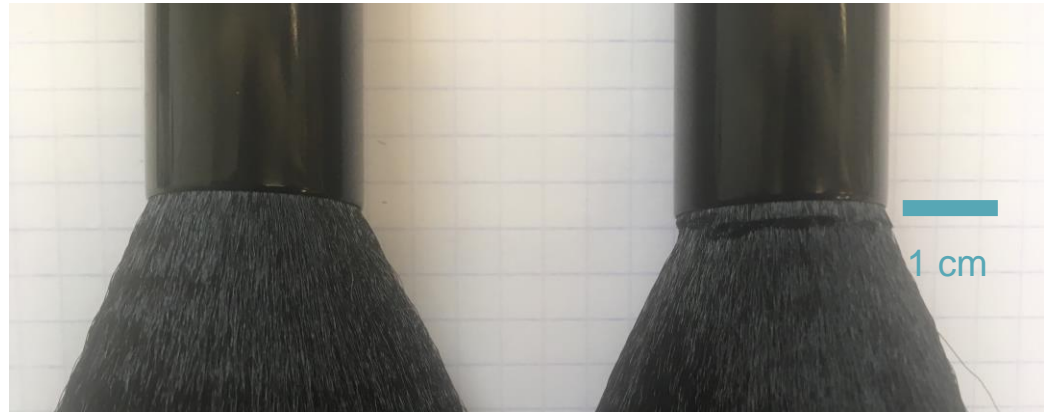
■ Mastercurve for every fibers' length

$$F \propto \frac{EI}{l^2}$$

Compressing brushes and varying the number of fibers



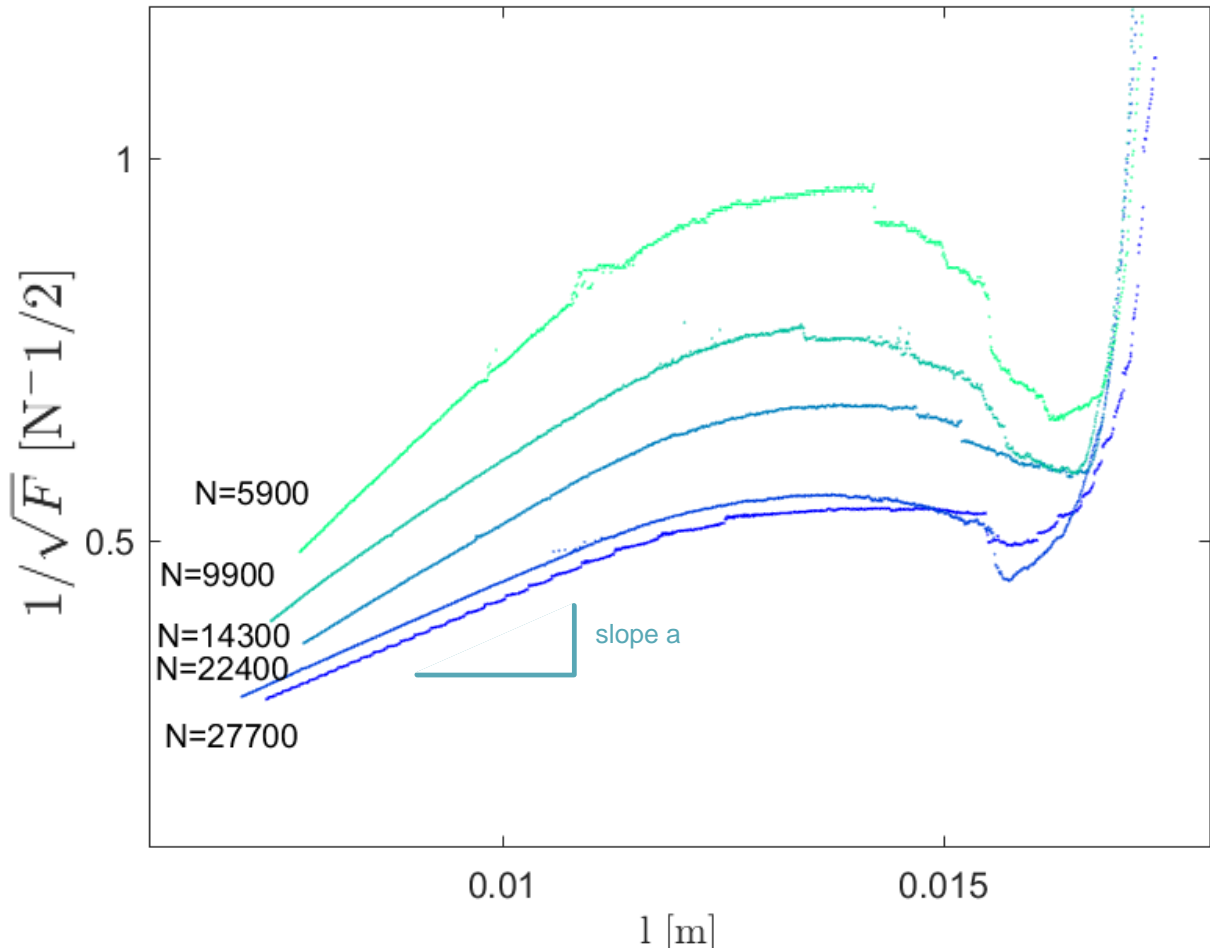
$$F(l, I, \textcircled{N}, E, \mu)$$



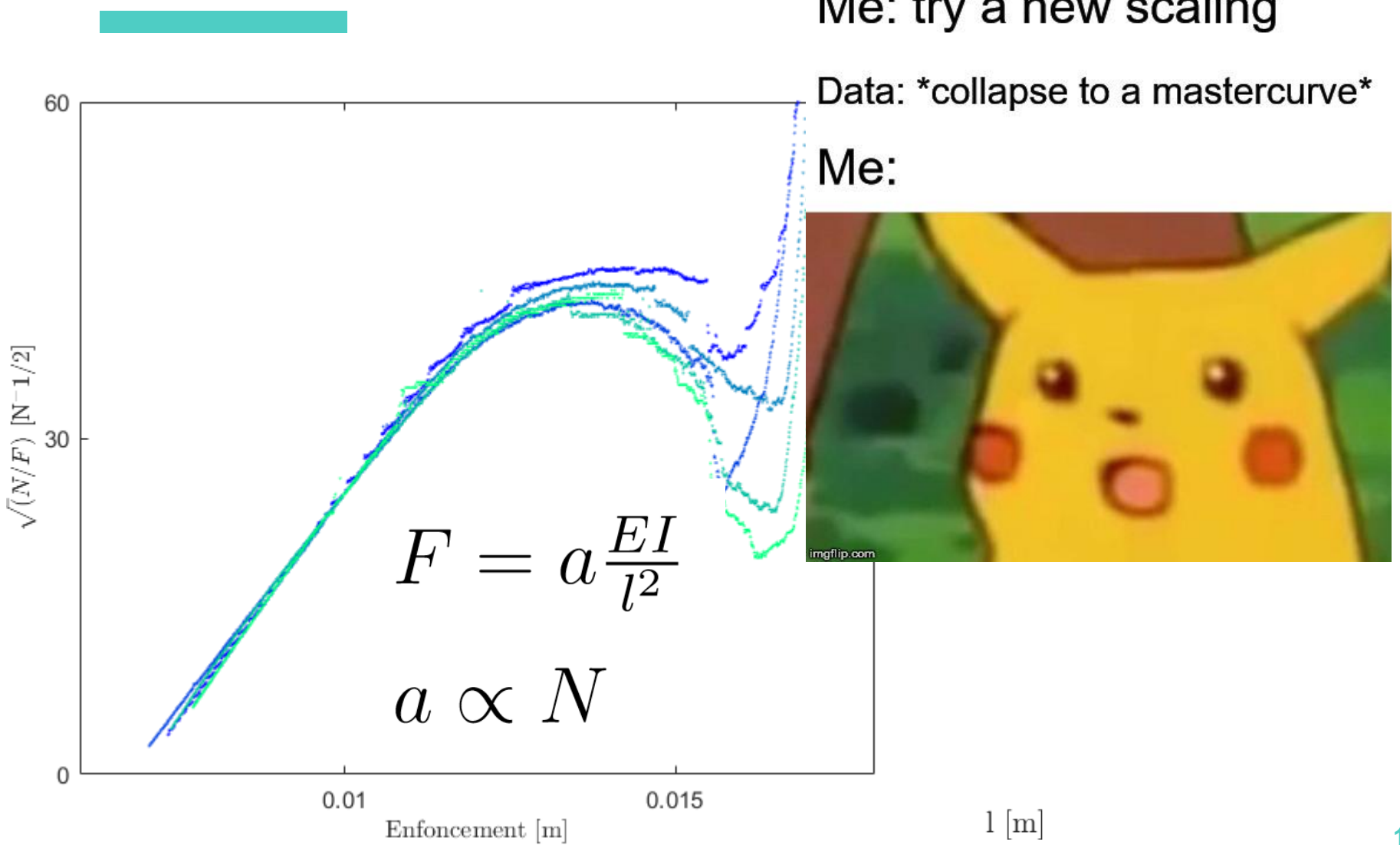
N varying between
27 700 and 5800 fibers

Compressing brushes and varying the number of fibers

$$F = a \frac{EI}{l^2}$$



Compressing brushes and varying the number of fibers



Types of brushes



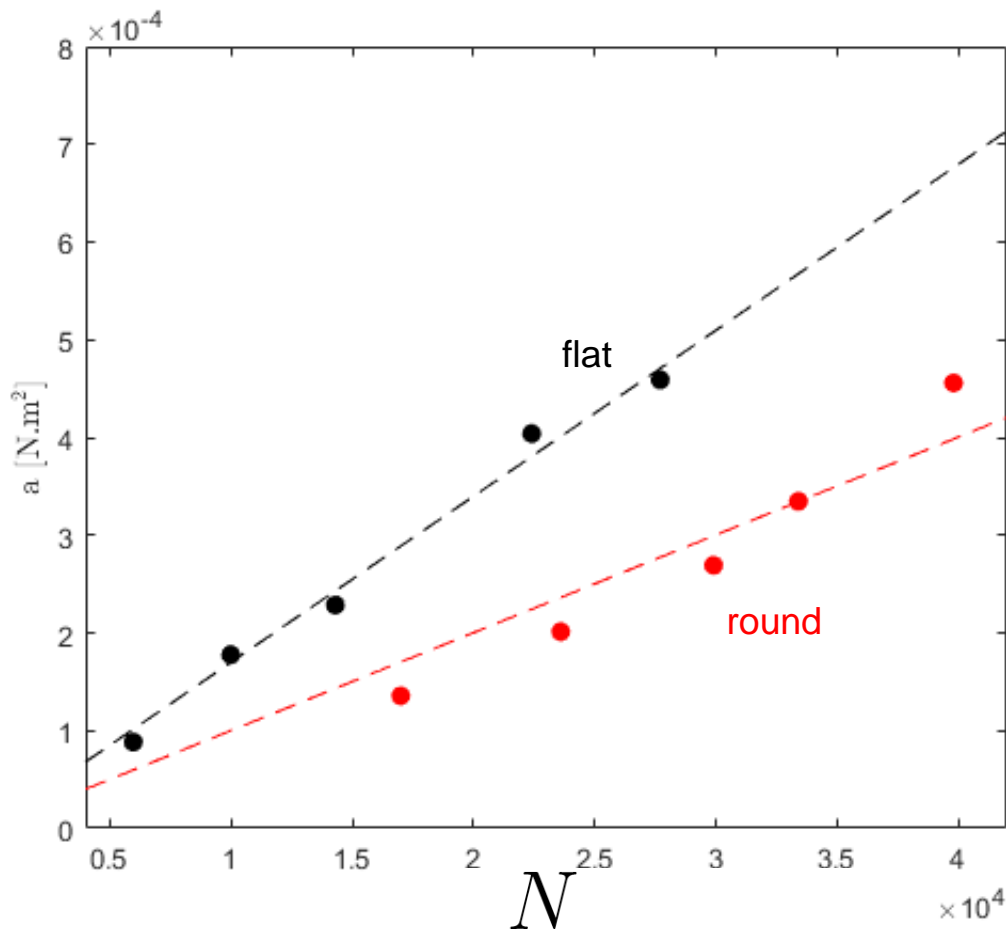
using
one brush



using
two brushes



Slope for different number of fibers – round brush

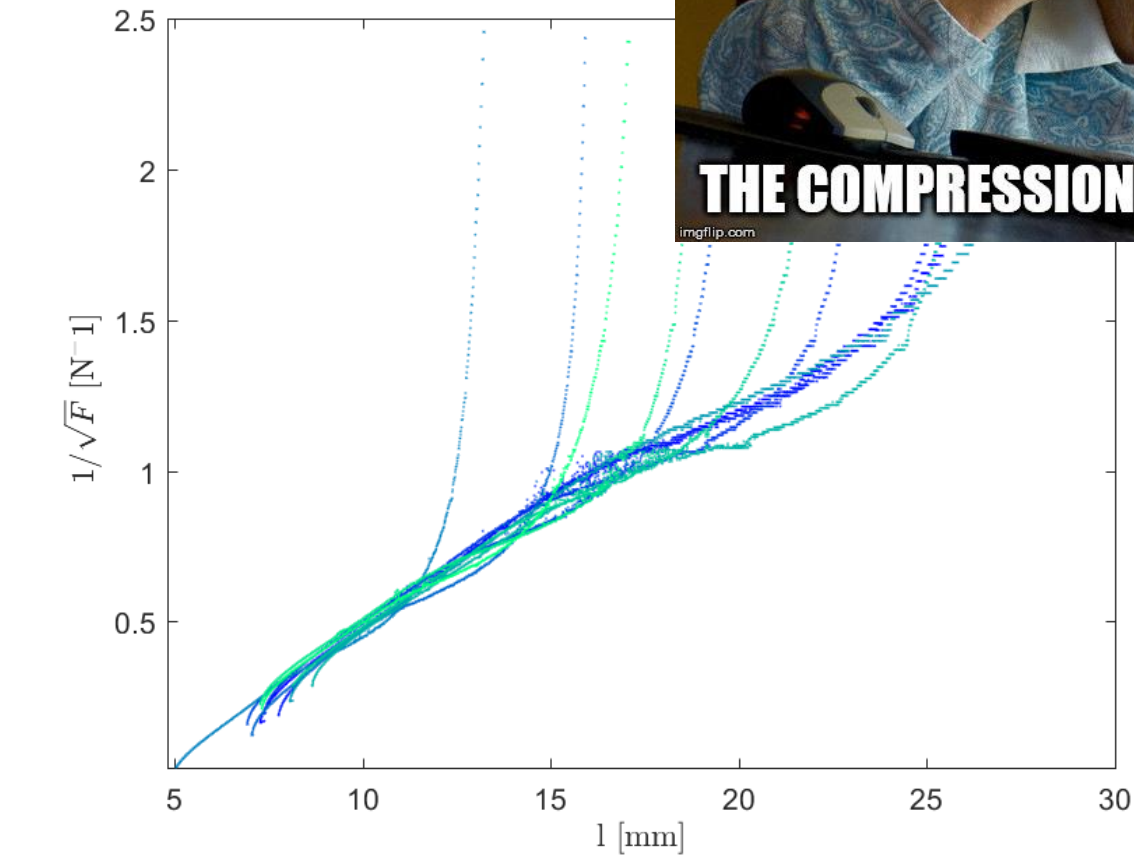


$$a \propto N$$

It works for both of our brushes, with different coefficients

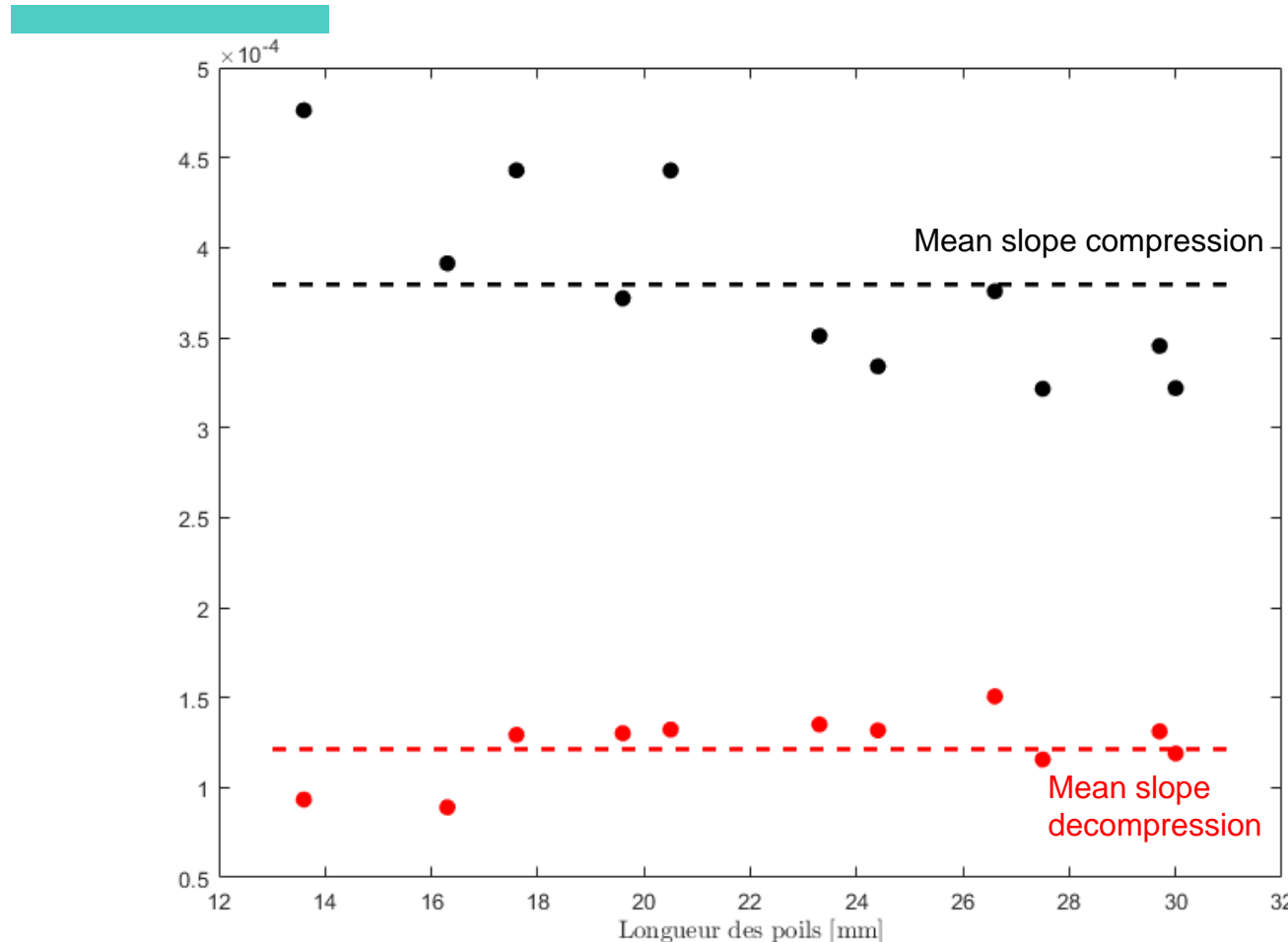
IS THAT

Return - decompression



- Mastercurve for every fibers' length

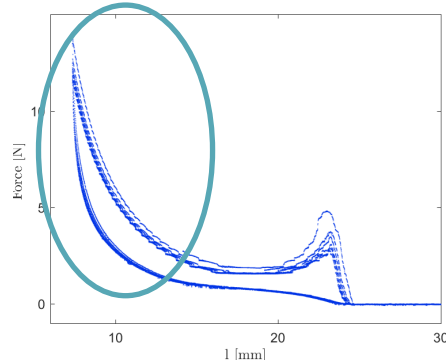
Comparison compression and decompression



- Different prefactor for traction and compression

Conclusion

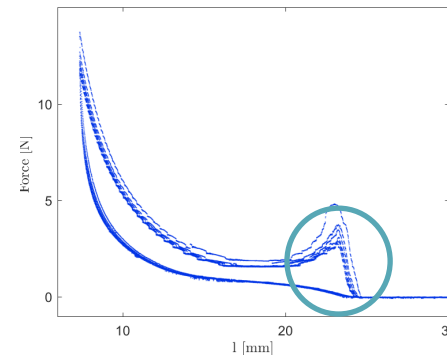
□ Big deformations



$$F = kN \frac{EI}{l^2}$$

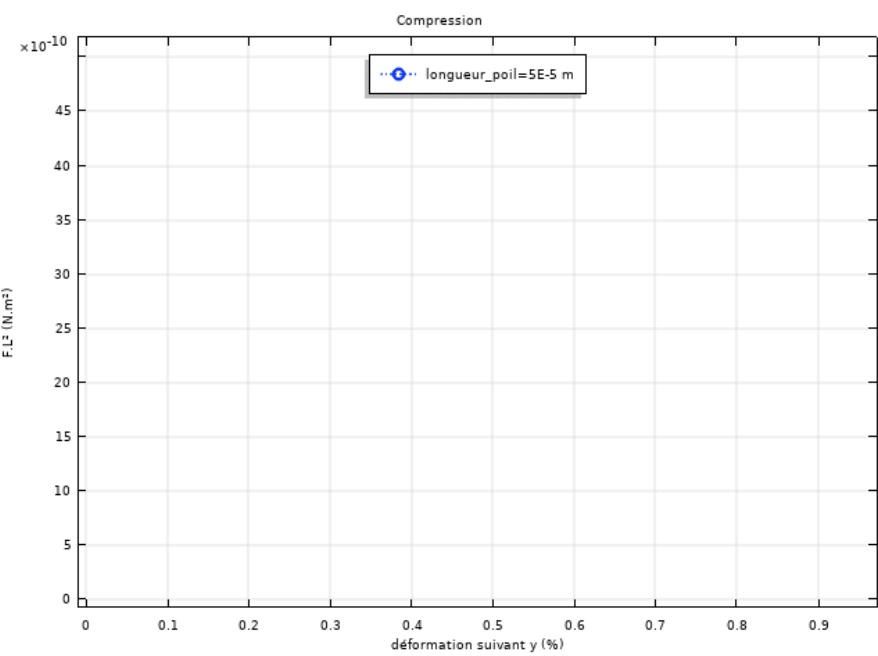
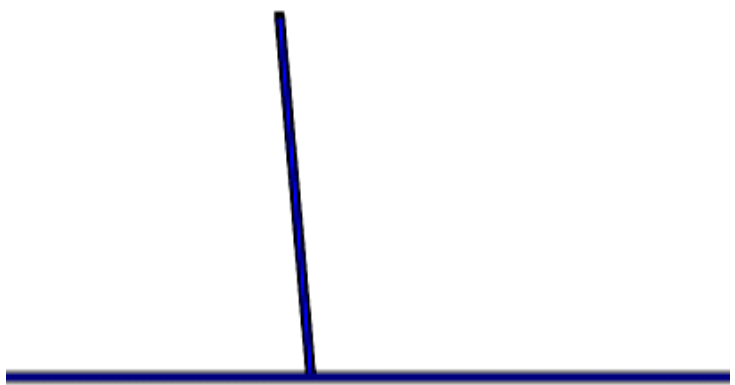
- k is different for compression and decompression
- k does not depend on L

□ Small deformations



□ Bump at constant ϵ

- But different from single hair experiments

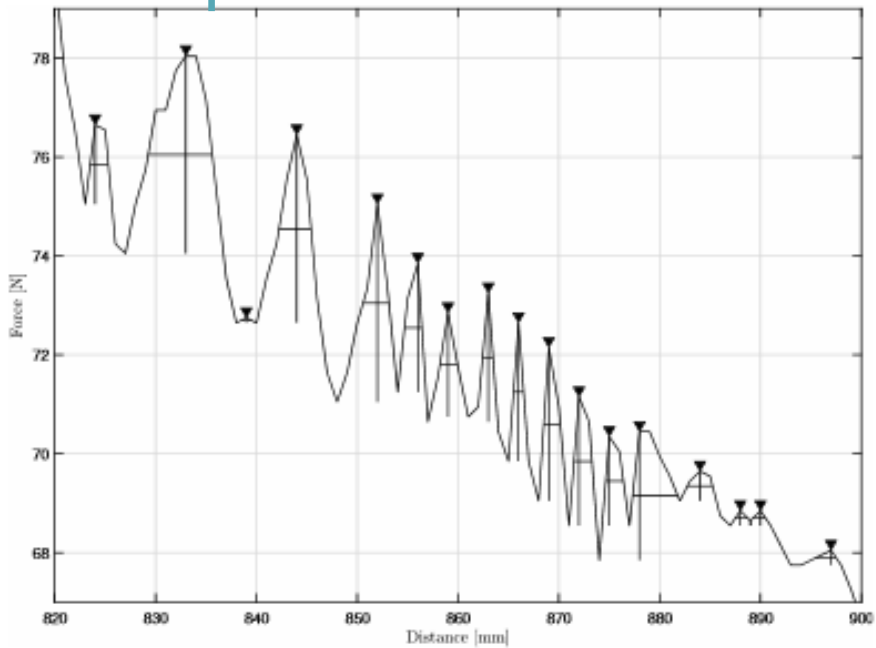


Perspectives

- Interleaving two brushes



- Statistics of the force-displacement curves

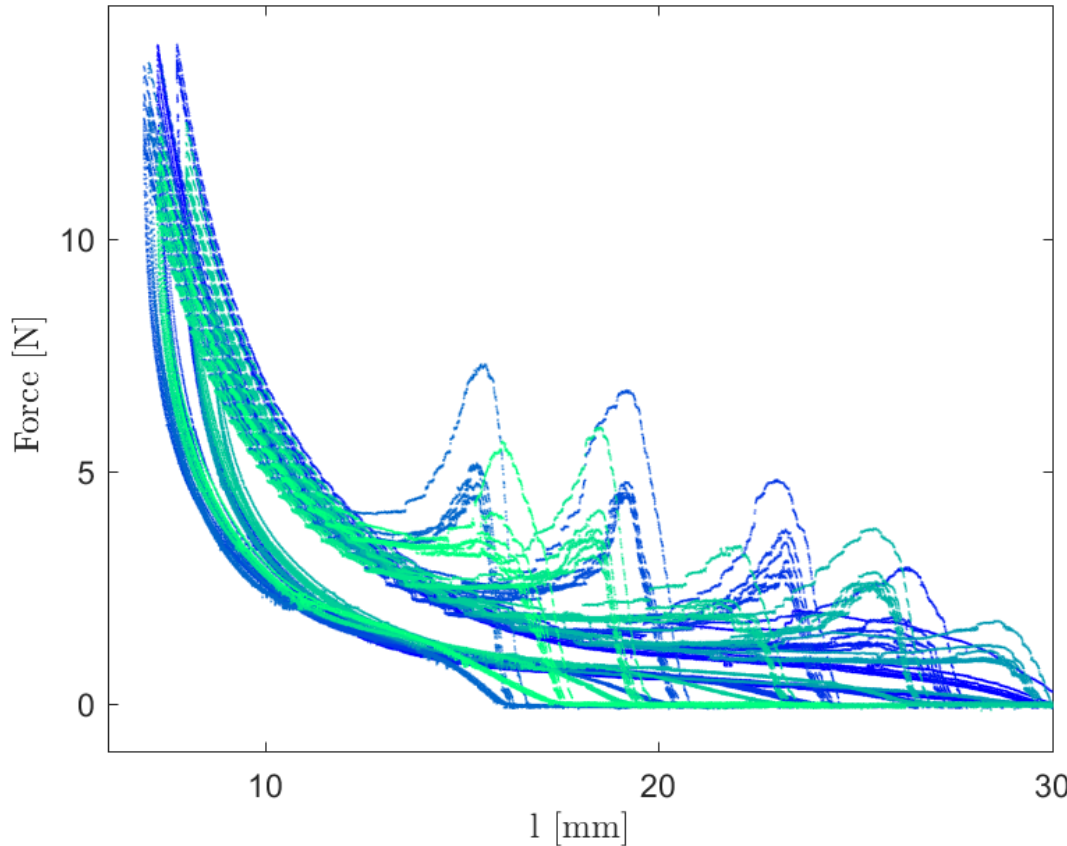


Thanks!

Any questions?

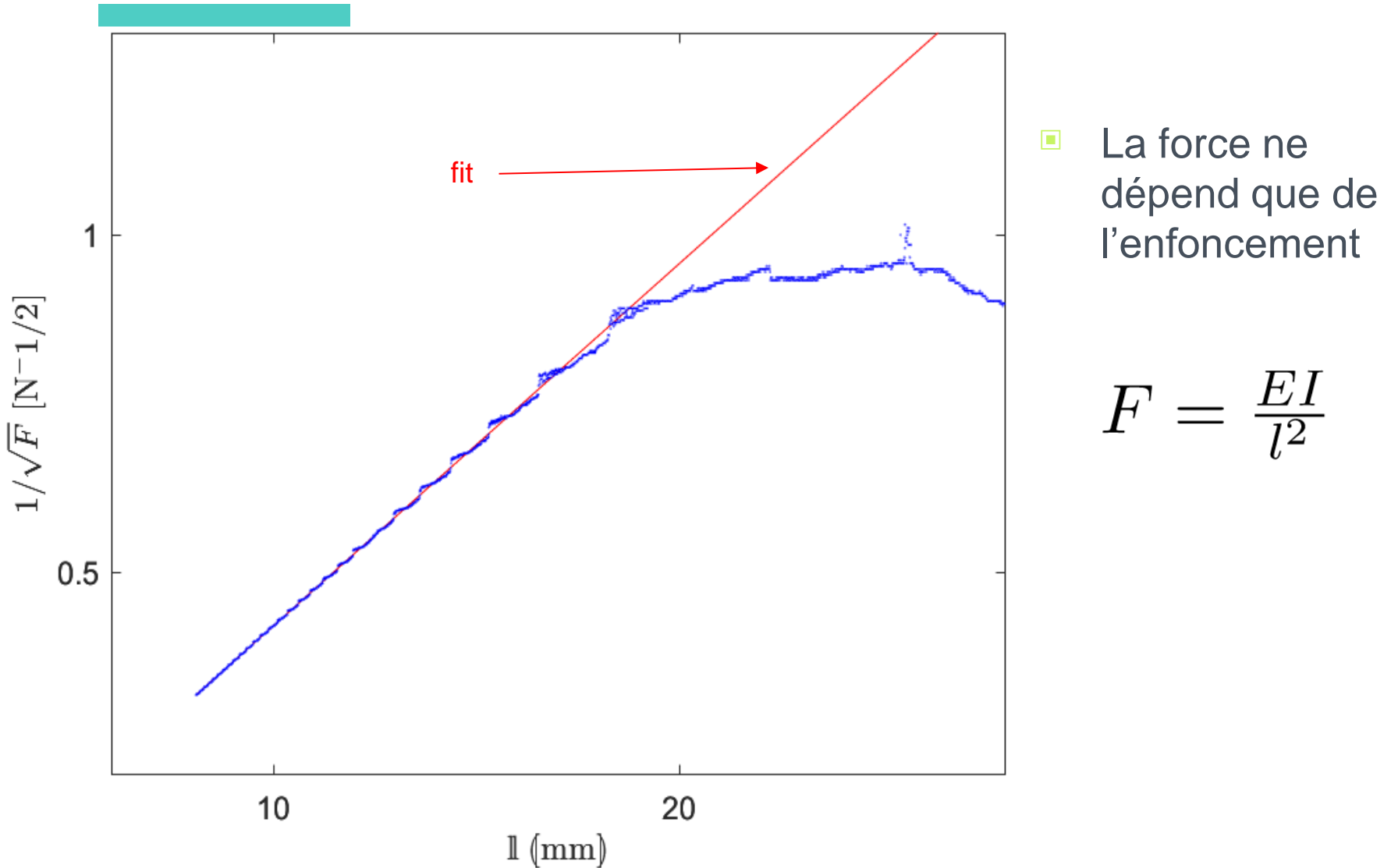
Raphaelle Taub
PhD Student – Université Paris Sud
raphaelle.taub@u-psud.fr

Compressing brushes and varying the fibers' length

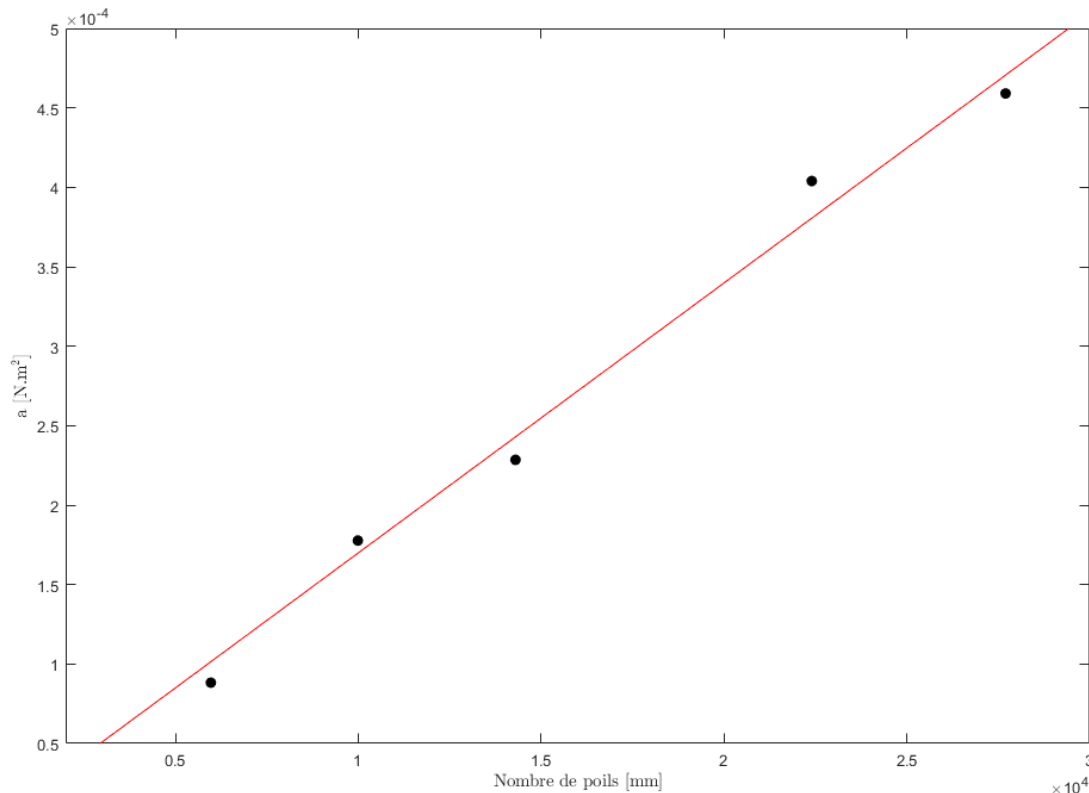


- ❑ No dependency in the fibers' lengths

Compression du pinceau – fit



Slope for different number of fibers – flat brush



$$a \propto N$$

Figure récapitulative sur les pentes et préfacteurs

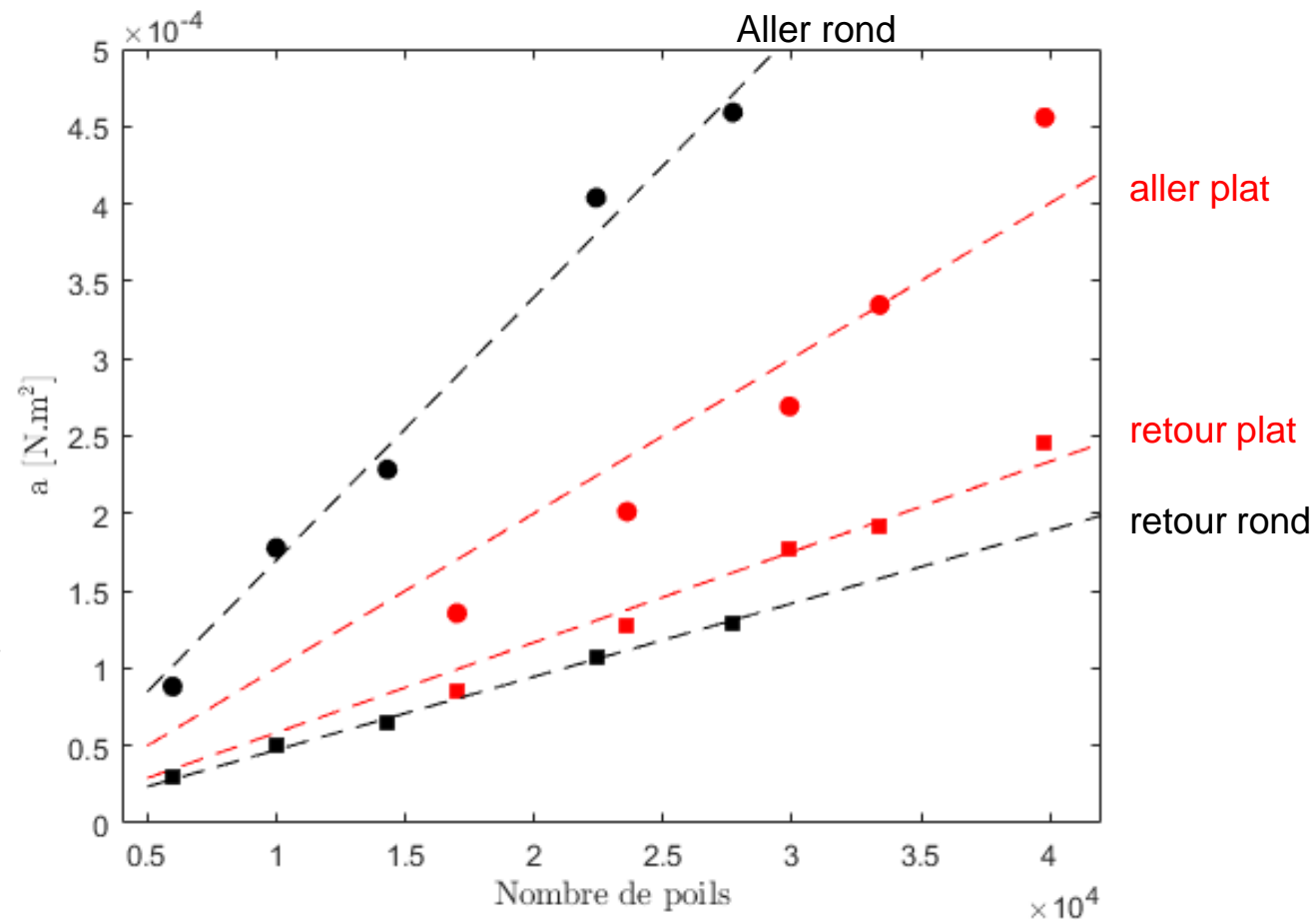
$$F = kN \frac{EI}{l^2}$$

$$a = kNEI$$

Aller rond : $kEI = 1.001 \cdot 10^{-8}$
Retour rond : $kEI = 5.841 \cdot 10^{-9}$
Aller plat : $kEI = 1.699 \cdot 10^{-8}$
Retour plat : $kEI = 4.73 \cdot 10^{-9}$

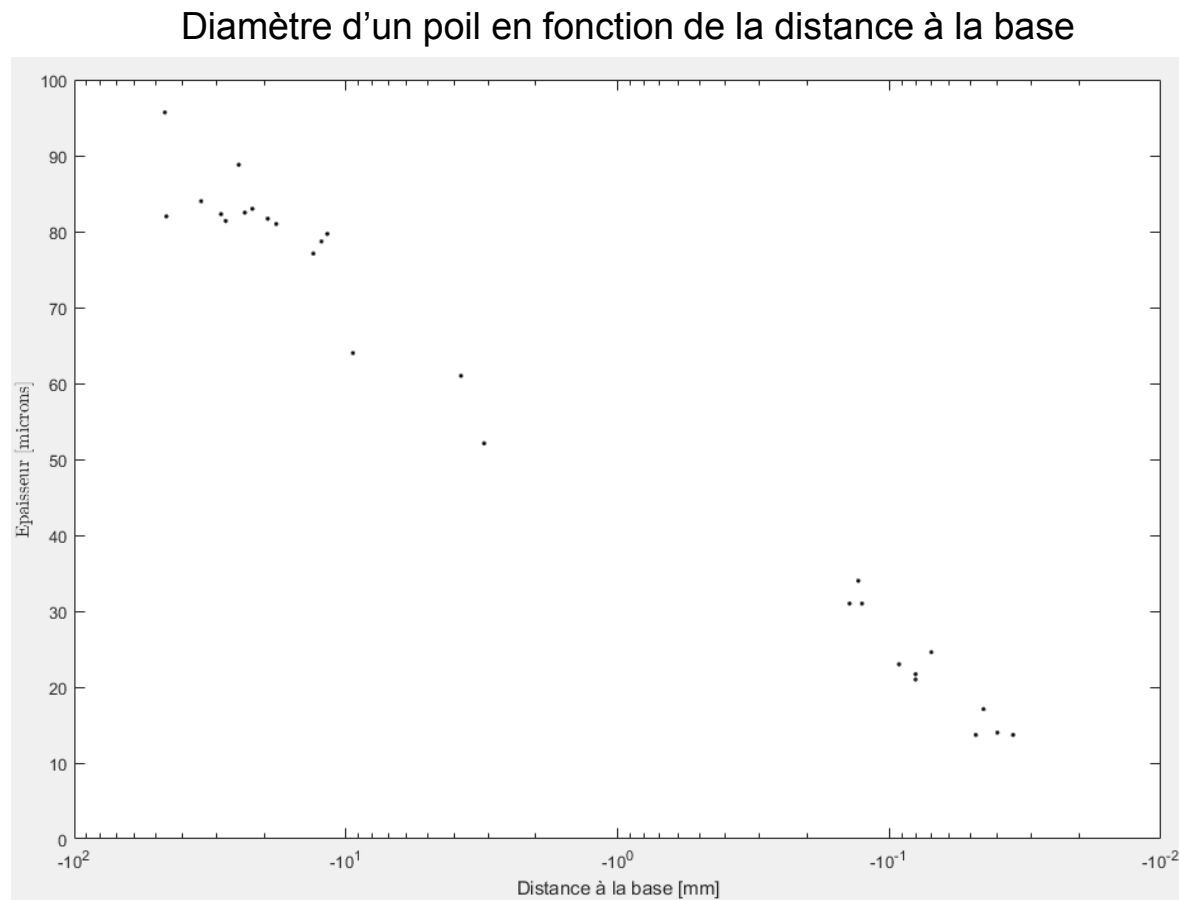
Pinceau rond
 $I = 2.9 \cdot 10^{-18} \text{ m}^4$

Pinceau plat
 $I = 2.44 \cdot 10^{-18} \text{ m}^4$



Caractéristiques des poils

- Diamètre varie le long du poil,
- Module d'Young : 3 à 5 GPa pour des poils en polyamide,
- Longueur : 2 à 5 cm
- Nombre de poils :
27700 (mesure pesée)
à 37600 (mesure géométrique)



Questions en suspens

$$F = kN \frac{EI}{l^2}$$

- Pourquoi le préfacteur k est différent à l'aller et au retour ? Est-ce qu'il est possible d'avoir une prédition théorique pour k (il est proche de 1 à l'aller) ?
- Est-ce qu'il est possible d'avoir un modèle qui fitte mieux les données des très grandes déformations, et qui explique donc l'hystérésis ?
- D'où vient le décalage sur le snap entre les expériences à poil unique et les expériences avec les pinceaux ?